

# 2023 年 4 月福州市普通高中毕业班质量检测物理试题

## 参考答案与解析

**一、单项选择题：**本题共 4 小题，每小题 4 分，共 16 分，在每小题给出的四个选项中，只有一项是符合题目要求的

1. 选 A

【解析】AB 选项：无人机飞行的总时间  $t = 10 \text{ s}$ ，位移为  $s = \sqrt{s_1^2 + s_2^2} = 50\text{m}$ ，平均速度大小  $\bar{v}_1 = \frac{s}{t} = 5\text{m/s}$  故 A 正确，B 错误。

CD 选项：无人机飞行的总时间  $t = 10 \text{ s}$ ，路程为  $L = 70\text{m}$ ，平均速率  $\bar{v}_2 = \frac{L}{t} = 7\text{m/s}$  故 CD 选项错误。

2. 选 D

【解析】对瓜子受力分析如图所示，压力  $F_N = \frac{F}{2 \sin \frac{\theta}{2}}$ ，因此压

力大小与 A、B 间距离无关，A、B 选项错误；增大  $\theta$ ， $F_N$  减小，故 C 错误，D 正确。

3. 选 B

【解析】交流电最大电动势  $E_m = NBS\omega$ ，变压器输入电压有效值  $U_1 = \frac{E_m}{\sqrt{2}}$ 。根据变压器

知识  $\frac{U_1}{n_1} = \frac{U_2}{n_2}$ ，得电压表读数  $U_2 = \frac{n_2 U_1}{n_1} = \frac{n_2}{n_1} \frac{NBS\omega}{\sqrt{2}}$ ，由于交流电表的读数为有效值，

故电压表读数为  $U_2$  一直不变，A 错误；圆形线圈匝数变为原来  $1/2$  时， $R$  电压  $U_2$  也变为原

来  $1/2$ ，B 正确；圆形线圈转速变为原来  $1/2$ ， $R$  消耗的电功率  $P = \frac{U_2^2}{R}$ ，变为原来  $1/4$ ，C

错误；原线圈匝数  $n_1$  变为原来  $1/2$ ，则  $U_2$  变为原来 2 倍，即电流变为原来 2 倍，D 错误。

4. 选 C

【解析】当轿厢速度即电机牵引缆绳速度为  $v=1 \text{ m/s}$  时，电机缆绳中拉力为  $F = \frac{P}{v}$ ，设 A、B 之间轻质缆绳中拉力大小为  $T$ ，轿厢此时加速度大小为  $a$ ，则对对重有  $F + mg - T = ma$ ，对轿厢有  $T - Mg = Ma$ ，解得： $T=6600 \text{ N}$ ， $a=1 \text{ m/s}^2$ 。

**二 多项选择题**: 本题共 4 小题, 每小题 6 分, 共 24 分, 每小题有多项符合题目要求, 全部选对的得 6 分, 选对但不全的得 3 分, 有选错的得 0 分.

5. 选 AC

【解析】上下乘客时气缸内气体的体积变化缓慢, 气体与外界有充分的热交换, 压缩过程中外界对气体做功, 根据  $\Delta U = \Delta W + \Delta Q$ , 气体温度不变, 内能不变, 气体对外界放热,

A 正确, B 错误; 剧烈颠簸造成气体压缩的过程中, 气体与外界来不及热交换,  $\Delta Q = 0$ ,

压缩过程中外界对气体做功, 根据  $\Delta U = \Delta W + \Delta Q$ , 气体的内能增加, 气体分子的平均动能增加, C 正确, D 错误。

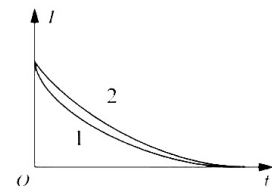
6. 选 BC

【解析】A. 电机工作时, 消耗的电能一部分转化为热能, 其余转化为弹簧储存的弹性势能; B.  $a = \frac{v - 0}{t} = \frac{28}{0.01} = 2800 \text{ m/s}^2$ ; C. 上升过程中阻力向下 (为何考虑阻力参考 D 选项解析), 对弹跳机器人有:  $mg + f = ma$ , 加速度大于当地重力加速度  $9.8 \text{ m/s}^2$ . D. 若机械能守恒, 则可上升的高度约为  $h = \frac{v^2}{2g} \approx 45 \text{ m}$ , 实际只上升了  $33 \text{ m}$ , 说明上升过程需克服阻力做功, 上升过程中弹跳机器人机械能不守恒。

7. 选 BD

【解析】设电容两端电压为  $U_C$ , 根据电路中电流  $I = \frac{U - U_C}{R}$ ,

画出两条曲线对应情况下电流随时间变化图象如右图所示, 根据  $I-t$  图像面积为电荷量  $Q$  可以得到曲线 2 对应情况下电容器充满电后所带的电荷量较大, 故 D 正确, C 错误。根据充满电后电容器



满足  $C = \frac{Q}{U_0}$ , 曲线 2 对应情况下电容器充满电后所带的电荷量较大, 故曲线 2 对应情况下电容值较大, 已知有药液时测量电路中的电容值更大, 故曲线 2 为有药液时的充电曲线,

B 对。

8. 选 AC

【解析】碰撞过程时间极短, 动量守恒, 有  $m_B v_1 = (m_B + m_A) \frac{v_1}{2}$ , 得  $m_B = m_A = m$ , A 正确;

当 vB 速度为零时, 为压缩最低点, 此时弹簧弹性势能最大, B 错误; B 与 A 一起运动过程属于简谐振动, 故 B 物体速度时间图线位正余弦函数关系。由数学知识可得

$$t_2 - t_1 = \frac{2}{3} T, \text{ 故 B 速度为零时刻为 } t = t_2 - \frac{T}{4} = \frac{5t_2 + 3t_1}{8}, \text{ C 正确;}$$

$\frac{5t_2-t_1}{4}-t_2=\frac{t_2-t_1}{4}=\frac{T}{6}$ , 由三角函数知识得 B 的速度为  $-\frac{v_1}{2}$ , 此时 A、B 有共同加速  $g/2$ , 并未分离, D 错误。

### 三 非选择题院共 60 分 考生根据要求作答

9. 3; 8.75

【解析】大量处于  $n=3$  能级的氢原子向低能级跃迁, 最多能发出光子频率的数量为:

$C_3^2 = 3$ ; 氢原子从  $n=3$  能级跃迁到  $n=1$  能级, 所发出的光的能量最大, 为

$\Delta E = E_m - E_n = -1.51\text{eV} - (-13.6)\text{eV} = 12.09\text{eV}$ , 锌板表面逸出光电子的最大初动能为

$$E_{km} = \Delta E - W_0 = 8.75\text{eV}$$

10. 4; 右

【解析】由图可知该简谐横波波长  $\lambda=8\text{ m}$ , 波速  $v=2\text{ m/s}$ , 则周期  $T = \frac{\lambda}{v} = 4\text{ s}$ ;  $t=3\text{ s}$  即  $\frac{3}{4}T$  时位于  $x=4\text{ m}$  处的质点 Q 第一次到达波谷位置, 说明  $t=0$  时刻质点 Q 正在向上振动, 故该简谐横波向右传播。

$$11. (1) 3.800 \quad (2) \frac{(\frac{d}{t_2})^2 - (\frac{d}{t_1})^2}{2L} \quad (\text{或 } \frac{d^2(t_1^2 - t_2^2)}{2Lt_1^2 t_2^2}) \quad (3) \text{小于}$$

【解析】(1) 螺旋测微器读数  $d = 3.5\text{ mm} + 30.0 \times 0.01\text{ mm} = 3.800\text{ mm}$ ; (2) 矩形框 1、2 杆经过光电门的速度分别为  $v_1 = \frac{d}{t_1}$ ,  $v_2 = \frac{d}{t_2}$ , 再根据匀变速运动知识, 有

$$(\frac{d}{t_2})^2 - (\frac{d}{t_1})^2 = 2gL, \text{ 得 } g = \frac{(\frac{d}{t_2})^2 - (\frac{d}{t_1})^2}{2L}; \quad (3) \text{若短杆未水平放置, 设短杆与水平夹角}$$

为  $\theta$ , 由于短杆倾斜经过光电门, 则短杆挡光宽度为  $d' = \frac{d}{\cos\theta}$ , 两次挡光距离  $L' = \frac{L}{\cos\theta}$ 。

有  $(\frac{d'}{t_2})^2 - (\frac{d'}{t_1})^2 = 2gL'$ , 整理得  $(\frac{d}{t_2})^2 - (\frac{d}{t_1})^2 = 2gL\cos\theta = 2g'L$ , 故测得的

$$g' = g \cos\theta < g.$$

12. (1) 3; (2) 16; (3) 酒驾; (4) 偏小

【解析】(1) 要将表头 G 量程扩大为 90 mA, 电阻  $R_i = \frac{I_g R_g}{I - I_g} = \frac{6\text{mA} \cdot 42\Omega}{90\text{mA} - 6\text{mA}} = 3\Omega$ ;

(2) 表头 G 显示电流为 2 mA 时, 电路实际电流为  $I_i = 30\text{mA}$ , 由图乙可知, 当酒精气体

浓度为零时，该气体传感器电阻  $R=80 \Omega$ ，改装后电流表等效电阻为

$$R'_g = \frac{R_g R_1}{R_g + R_1} = 2.8 \Omega, \text{ 则 } I_1 = \frac{E}{R'_g + R + r + R_2}, \text{ 得 } R_2 = 16 \Omega.$$

(3) 由图乙可知，当酒精气体浓度达到醉驾标准时，该气体传感器电阻  $R'=20 \Omega$ ，此时电

$$\text{路中的实际电流为 } I_2 = \frac{E}{R'_g + R' + r + R_2} = 75 \text{ mA, 此时表头 G 中的实际电流为 5 mA,}$$

则图丁所示的酒精浓度未到达醉驾，属于酒驾范围。

(4) 使用较长时间后，干电池电动势降低，内阻增大，根据  $I = \frac{E}{R'_g + R + r + R_2}$ ，同一酒精

浓度下，电路中的总电流将偏小，流经表头的电流也同比减小，故所测得的酒精浓度值偏小。

13. (12 分)

(1) 着陆器动力减速阶段，由运动学规律

$$h = \frac{v_0 + 0}{2} t$$

解得  $h=3840 \text{ m}$

(3 分)

(1 分)

(2) 着陆器动力减速阶段，由牛顿第二定律

$$f - mg_{\text{火}} = ma$$

(2 分)

$$\text{由运动学规律，加速度大小 } a = \frac{v_0}{t}$$

(1 分)

解得： $f=6240 \text{ N}$

(1 分)

(3) 将一质量为  $m_0$  的物体分别放置在地球、火星表面，忽略自转，有：

$$G \frac{M_{\text{地}} m_0}{R_{\text{地}}^2} = m_0 g$$

(2 分)

$$G \frac{M_{\text{火}} m_0}{R_{\text{火}}^2} = m_0 g_{\text{火}}$$

$$\text{得 } \frac{M_{\text{火}}}{M_{\text{地}}} = \frac{g_{\text{火}}}{g} \left( \frac{R_{\text{火}}}{R_{\text{地}}} \right)^2 = \frac{1}{10}$$

(2 分)

14. (14 分)

(1)  $0 \sim t_1$  时间内，

$$d = \frac{1}{2} a t_1^2$$

(2 分)

得  $a=1 \text{ m/s}^2$

(1 分)

对重物及金属棒整体分析得

$$Mg = (M+m)a$$

(1 分)

$$\text{得 } M=0.1 \text{ kg}$$

(1 分)

(2)  $t_1$  时刻，金属棒速度  $v_1 = at_1$

(1 分)

$$\text{感应电动势 } E_1 = BLv_1 \quad (1 \text{ 分})$$

$$\text{热功率 } P = \frac{E_1^2}{R} \quad (1 \text{ 分})$$

$$\text{得 } P=4\text{W} \quad (1 \text{ 分})$$

(3) 金属棒在磁场中切割时, 任一小段时间 $\Delta t$ 内, 对重物及金属棒整体分析有:

$$(\frac{B^2L^2v}{R} - Mg)\Delta t = (M+m)\Delta v, \text{ 从 } t_1 \sim t_2 \text{ 时间内微元叠加后可得:}$$

$$\frac{B^2L^2}{R}x - Mg(t_2 - t_1) = (M+m)(v_1 - v) \quad (2 \text{ 分})$$

$$\text{代入数据得 } x=1.63\text{m} \quad (1 \text{ 分})$$

15. (16分)

(1) 离子经过加速电场后

$$qU_0 = \frac{1}{2}mv_0^2 - 0 \quad (2 \text{ 分})$$

$$\text{得: } U_0 = \frac{mv_0^2}{2q} \quad (1 \text{ 分})$$

(2) 离子在平行极板PQ间运动时, 水平方向为匀速直线运动

$$L = v_0 t \quad (1 \text{ 分})$$

$$\text{得: } t = \frac{L}{v_0} \quad (1 \text{ 分})$$

即离子在平行极板PQ间运动的时间恰为电场变化的一个周期

$$t = n \frac{T}{2}, n = 0, 1, 2, \dots \text{ 时刻进入电场的粒子恰从极板边缘离开时, 电压最大}$$

$$q \frac{U_m}{d} = ma \quad (2 \text{ 分})$$

$$\frac{d}{2} = 2 \times \frac{1}{2} a \left( \frac{T}{2} \right)^2 \quad (2 \text{ 分})$$

$$\text{得: } U_m = \frac{2mv_0^2 d^2}{qL^2} \quad (1 \text{ 分})$$

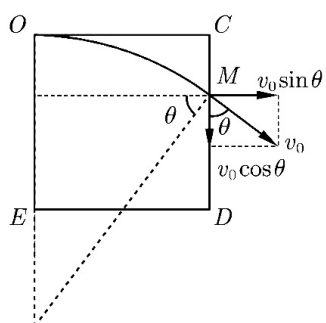
(3) 粒子飞过平行极板PQ过程中, 沿竖直方向的速度增量为

$$\Delta v_y = a \cdot \frac{T}{2} + (-a) \frac{T}{2}$$

即 $\Delta v_y = 0$ , 所有粒子均以速度 $v_0$ 水平飞出PQ极板

进入第一个正方体区域后

$$qv_0 B_1 = m \frac{v_0^2}{r_1}$$



得:  $r_1 = \frac{5}{3}d$  (1分)

粒子运动的俯视图如图所示

$$\cos \theta = \frac{d}{r_1} = 0.6$$

$$CM = r_1 - r_1 \cos \theta$$

得:  $CM = \frac{d}{3}$  (1分)

即进入第二个正方体的粒子均从正方形  $CDD_1C_1$  的  $MN$  连线进入

离子进入第二个正方体区域后, 沿  $x$  轴方向做匀速直线运动, 若能到  $GG_1H_1H$ , 则

$$d = v_0 \sin \theta t_1, \text{ 得: } t_1 = \frac{5d}{4v_0}$$
 (1分)

垂直于磁场的速度分量使离子做圆周运动, 即离子边圆周边匀速直线, 为螺旋运动

$$qv_0 \cos \theta B_2 = m \frac{(v_0 \cos \theta)^2}{r_2}, \text{ 得: } r_2 = \frac{2d}{3}$$
 (1分)

粒子运动的侧视图如图所示

离子在第二个正方体圆周运动的周期为

$$T_2 = \frac{2\pi m}{qB_2}$$
 (1分)

$$\text{得: } T_2 = \frac{20\pi d}{9v_0}$$

从  $N$  点进入的离子在磁场中圆周运动时间最长

$$\cos \alpha = \frac{d - r_2}{r_2}, \text{ 即 } \alpha = 60^\circ$$

能在该场中做圆周运动的离子最长时间为  $t_2 = \frac{180^\circ - \alpha}{360^\circ} T_2$

$$\text{得: } t_2 = \frac{20\pi d}{27v_0}$$
 (1分)

$t_2 > t_1$ , 即离子在第二个正方体中尚未完成一个螺旋便已离开, 其运动的最长时间为

$$t_{\max} = t_1 = \frac{5d}{4v_0}$$
 (1分)

